

ĐẶC ĐIỂM THẠCH HỌC - KHOÁNG VẬT, THẠCH ĐỊA HÓA VÀ ĐIỀU KIỆN THÀNH TẠO GRANITOIT KHỐI CHÂU VIÊN, BÀ RỊA - VŨNG TÀU

Trần Phú Hưng, Phạm Quang Vinh, Nguyễn Kim Hoàng

Trường Đại Học Khoa Học Tự Nhiên, ĐHQG-HCM

(Bài nhận ngày 29 tháng 05 năm 2008, hoàn chỉnh sửa chữa ngày 10 tháng 11 năm 2008)

TÓM TẮT: Kết quả nghiên cứu granitoit khối Châu Viên cho thấy:

1. Khối được cấu tạo bởi các pha xâm nhập, bao gồm: Pha xâm nhập chính: granit biotit, granit biotit có hornblend; Pha xâm nhập phụ: granit hạt nhỏ và Pha đá mạch: granit aplite, pegmatoit.
2. Các đá bị biến đổi hậu magma mạnh mẽ nhưng không đều, gồm các quá trình: albit hóa, microclin hóa, thạch anh hóa; trong đó, albit hóa phát triển mạnh và đều khắp hơn microclin hóa.
3. Các đá thuộc loạt vôi-kiềm, kiểu I-granit (theo Chapell & White, 1974) hay granit loạt magnetit (theo Tsusue & Ishihara, 1972) hoặc kiểu VAG; được kết tinh từ nguồn magma có độ sâu trung bình, bị hỗn nhiễm với vỏ (nguồn gốc hỗn hợp), được hình thành chủ yếu do nóng chảy các vật liệu sâu dưới vỏ của rìa lục địa tích cực kiểu Andes. Magma được thành tạo trong khoảng 962°C ở độ sâu 14,33Km với áp suất PS 4,48Kbar; nhiệt độ kết tinh khoảng $660\div670^{\circ}\text{C}$ ở độ sâu 10,5km với áp suất 2,5 \div 3Kbar.

Từ khóa: Granit kiểu I, ganit kiểu S, granit-magnetit, granit-ilmenit

1. GIỚI THIỆU

Khu vực nghiên cứu nằm ở phía đông nam Long Hải, bao gồm núi Châu Viên (327m) và phần phía nam núi Hòn Thùng (gọi chung là khối Châu Viên), phân bố dọc ven biển tỉnh Bà Rịa-Vũng Tàu, diện tích khoảng 30km², kéo dài theo phương đông bắc-tây nam. Khối bị phân cắt mạnh bởi các hệ thống khe nứt phát triển theo các phương: kinh tuyển, vĩ tuyển, đông bắc-tây nam; mật độ trung bình $10\div15$ khe nứt/m²; trong đó, phát triển mạnh là hệ phương đông bắc-tây nam. Các khe nứt thường được lấp đầy bởi thạch anh ($1\div7$ mm, đôi khi $2\div3$ cm) và thường có: pyrit, chalcopyrit.

2. ĐẶC ĐIỂM THẠCH HỌC - KHOÁNG VẬT

2.1. Đặc điểm thạch học - khoáng vật

a/ **Pha xâm nhập chính:** Thành phần thạch học chủ yếu: granit biotit, granit biotit có hornblend. Đá có màu xám hồng, kiếng trục hạt vừa, đôi nơi có ban tinh felspat kali màu hồng hay màu trắng kích thước đến 5x8mm. Trong đá, chứa các đá tách diorit thạch anh có dạng tròn hay ellip với kích thước thay đổi từ vài cm đến dm; cá biệt đến hàng mét như ở Nam Hòn Thùng ($\sim 4\div5$ m).

Thành phần (%) khoáng vật chủ yếu: plagioclas $30\div35$, felspat kali $20\div25$, thạch anh $25\div30$; khoáng vật thứ yếu: biotit $5\div7$, horblend $1\div2$; ít khoáng vật phụ: orthit, zircon, apatit, sphen, magnetit và ít khoáng vật quặng: pyrit, chalcopyrit.

- Plagioclas có 2 thể hệ: Plagioclas I ($80\div85\%$), có dạng lăng trụ, tám, tương đối tự hình, kích thước phổ biến là $0,8 \times 1,5$ mm, lớn nhất $1,4 \times 2,8$ mm. Thể có cấu tạo song tinh liên phiến (Hình 1), phổ biến là albit, albit-cacbat với các dài song tinh từ nhuyễn đến thô, đôi hạt có cấu tạo phân đồi (Hình 2), thường bị gãy mòn ven rìa bởi thạch anh hay felspat kali. Plagioclas bị biến đổi sericit hóa không đều (Hình 1), hay bị sausurit hóa mạnh ở nhân

10÷15% (Hình 2). Thành phần plagioclas No 26÷27 (oligoclas). Đôi hạt có kiến trúc mirmekit ven rìa. Plagioclas II là albit chiếm 15÷20%, là những hạt nhỏ, lăng trụ ngắn, kích thước trung bình 0,1x0,2mm, thay thế ven rìa các hạt orthoclás (Hình 3).

- *Felspat kali*: có kích thước trung bình 0,8x1,6mm; dạng lăng trụ ngắn hoặc méo mó. Gồm 2 thể hệ. Felspat kali I là orthoclás, có cấu tạo perthit kiểu tăng trưởng; đôi nơi, có cấu tạo perthit kiểu phân ly. Perthit là các hạt hay tạo dạng tia mạch nhỏ ngoằn ngoèo (Hình 4). Ven rìa orthoclás, thường bị thạch anh gãm mòn. Orthoclás thường gãm mòn plagioclas I, đôi chỗ bao lấy chúng. Hầu hết orthoclás bị kaolin hóa. Felspat kali II là microclin (2÷10%), có dạng tấm, lăng trụ ngắn không đều, kích thước 0,5÷1,2 mm (Hình 5), phô biến dạng gãm mòn, thay thế các hạt plagioclas; đa phần có cấu tạo song tinh mạng lưới mờ. Vài nơi, microclin mọc xen với albit tạo thành microclin-perthit (Hình 5).

- *Thạch anh* có hai thể hệ. Thạch anh I (20%) là các hạt méo mó, kém tự hình, ven rìa thường bị gãm mòn, kích thước 1÷2 mm; đôi khi là các ban biến tinh lớn, phân bố rải rác. Đôi hạt bị rạn nứt, tắt làn sóng nhẹ. Thạch anh II là những hạt nhỏ ven rìa giữa felspat kali và thạch anh I, hoặc dạng tia mạch xuyên trong felspat, hoặc là dạng hình giun trong kiến trúc mirmekit (Hình 6).

- *Biotit*: vảy nhỏ đến vừa, thường đi cùng amphibol. Biotit đa sắc mạnh Ng nâu đậm > Np vàng nâu phớt lục. Biotit thường bị clorit hóa từng phần hay hoàn toàn, kèm theo quặng. Trên biotit, đôi khi zircon, apatit xuất hiện. Một vài vảy biotit dạng tia dài xuyên qua các hạt felspat kali, hoặc phát triển trên orthoclás có dạng không đều, kiểu chân chim hoặc đôi khi bao plagioclas (Hình 7).

- *Horblend*: Thường đi cùng với biotit, phân bố không đều, thành từng ổ, kích thước khác nhau trung bình là 0,5x0,7 ÷ 0,2x0,4 mm. Tinh thể có dạng trụ ngắn, thường bị biotit hóa ven rìa và bị gãm mòn. Đa sắc Ng = nâu lục đậm > Np = nâu lục nhạt. Góc tắt nghiêng C \wedge Ng = 17 $^{\circ}$ ÷24 $^{\circ}$ (Hình 8).

b/ *Pha xâm nhập phụ*: Thành phần thạch học chủ yếu là granit hạt nhỏ. Đá có màu trắng phớt hồng, đôi khi có ban tinh felspat kali; chiếm khối lượng không đáng kể, đôi khi chỉ là các mạch. Chúng xuyên cắt granit biotit hạt vừa thuộc pha xâm nhập chính.

Thành phần và đặc điểm khoáng vật của các đá pha xâm nhập phụ nói chung giống với granitoit pha xâm nhập chính của phức hệ. Chúng cũng bị biến đổi hậu magma mạnh mẽ nhưng không đều và xuất hiện các felspat kali II, thạch anh II (Hình 11).

c/ *Pha đá mạch*: Thành phần thạch học phô biến là pegmatoit và granit aplit.

Pegmatoit dạng mạch nhỏ, ổ, thấu kính, dày từ vài cm đến dm. Thành phần và đặc điểm khoáng vật các đá pha đá mạch giống với granitoit pha xâm nhập chính và xâm nhập phụ cùng phức hệ. Chúng cũng bị biến đổi hậu magma và xuất hiện các plagioclas II, felspat kali II và thạch anh II.

2.2. Đặc điểm khoáng vật phụ

Các khoáng vật phụ đặc trưng gồm: orthit, zircon, apatit, magnetit, sphen.

- *Orthit* phô biến dạng hạt đắng thước (lục giác) tự hình, thường đi cùng biotit; có màu đỏ nâu, kích thước 0,1mm (Hình 9). Tính đa sắc rõ: nâu đỏ đến nâu vàng.

- *Zircon* là những hạt có kích thước nhỏ, dạng lăng trụ 2 tháp nhọn đầu, đôi khi hơi tròn; thường đi cùng hoặc là bao thể khâm trong biotit. Dưới 2 nicol, màu giao thoa cao: bậc III (Hình 10).

- *Apatit*: dạng vi lăng trụ, hạt nhỏ; thường đi cùng hay trong các tinh thể: hornblend, biotit, felspat kali và plagioclas; loại hình kim nhô thường đi cùng khoáng vật quặng (Hình 10).

- *Magnetit* với tỷ lệ cao. Tuy nhiên, *ilmenit* cũng xuất hiện nhưng tỷ lệ rất thấp.

2.3. Đặc điểm biến đổi hậu magma

Đá bị biến đổi hậu magma mạnh mẽ nhưng không đều. Mức độ biến đổi khoảng 10 ÷ 20%.

* *Giai đoạn kiềm sớm*: Quá trình biến đổi chủ yếu là albit hóa và microclin hóa không đều; trong đó, microclin hóa phát triển nhiều hơn ở phía đông khối Châu Viên. Microclin hóa thường xảy ra với albit hóa trên cùng khoáng vật felspat kali.

- Albit hóa hình thành kiểu albit bùn cát trong perthit thay thế trong felspat kali, kích thước nhỏ, hoặc là các hạt nhỏ mọc xen, thay thế ven rìa felspat kali. Mức độ albit hóa khoảng 11 ÷ 15%.

- Microclin hóa tạo các hạt felspat kali II nhỏ hay ban biến tinh. Mức độ biến đổi khoảng 5%.

* *Giai đoạn rửa lúa acit*: Quá trình biến đổi thạch anh hóa hình thành các hạt thạch anh nhỏ chen lẫn ở ranh giới giữa thạch anh I và felspat kali, hoặc chen vào các khe nứt.

Sự biến đổi hậu magma trong granitoit khối Châu Viên và Nam Hòn Thùng tạo điều kiện làm giàu khoáng vật quặng trong quá trình lắng đọng.

2.4. Thứ tự thành tạo khoáng vật

Phân tích dưới kính, thứ tự thành tạo khoáng vật trong các đá granitoit như sau (Bảng 1).

3. ĐẶC ĐIỂM THẠCH – ĐỊA HÓA

Granitoit khối Châu Viên có hàm lượng các oxyt: $\text{SiO}_2 \sim 72\text{-}75\%$, $\text{K}_2\text{O} \sim 4,18\text{-}4,35\%$ và $\text{Na}_2\text{O} \sim 4\text{-}4,2\%$, chúng tỏ có độ acit và kiềm cao (Bảng 2). Tỷ số giữa $\text{K}_2\text{O} / \text{Na}_2\text{O}$ dao động chủ yếu từ 1 đến 1,1: thể hiện K chiếm ưu thế hơn Na..

So sánh với thành phần hóa học trung bình granitoit theo Deli (1933), Nockolds (1954) và một số mẫu của granitoit khối Đèo Cả thuộc phirc hệ Đèo Cả (Bảng 2), các đá có các đặc trưng như sau:

- Tổng lượng kiềm tương đối cao; trong đó, $\text{K}_2\text{O} / \text{Na}_2\text{O} \geq 1$.
- Giàu nhôm: $\text{Al}_2\text{O}_3 \approx 12,68 \div 13,18\%$ và $\text{Al}_2\text{O}_3 > \text{CaO} + \text{Na}_2\text{O} + \text{K}_2\text{O}$.
- Bảo hòa silic: $\text{SiO}_2 \approx 73,9\% \div 75,64\%$.

Như vậy, granitoit ở đây có thể được xếp vào phirc hệ Đèo Cả, có thành phần tương tự granitoit thuộc loạt vôi - kiềm theo cách phân loại của L.V. Tauxon (1977). Qua các số liệu, tính toán các khoáng vật định mức khoáng vật CIPW (Bảng 3) giá trị tương quan giữa các oxyt, các nguyên tố vết, lập các biểu đồ tương quan 2 hợp phần và 3 hợp phần, cho thấy:

• Chỉ số màu (CI) của granitoit < 8 % và chỉ số phân dị (Diff index - DI) lớn (90,90%) cho thấy, granitoit này thuộc nhóm sáng màu (felsic). Plagioclas có tỷ lệ $100\text{An}/(\text{An}+\text{Ab})$ $7,86 \div 10,97\%$.

• Chỉ số C (corindon) $0,01 \div 0,75$ cho thấy granitoit Châu Viên thừa nhôm. Các chỉ số Mt, Il đều hiện diện và Mt luôn lớn hơn Il nhiều lần ($\text{Mt} = 1,14 \div 1,57$ và $\text{Il} = 0,22 \div 0,40$)

• Biểu đồ Q, Or, Pl (Biểu đồ 1) và biểu đồ $\text{Na}_2\text{O}-\text{CaO}-\text{K}_2\text{O}$ (Biểu đồ 2) cho thấy granitoit khối Châu Viên thuộc trường granit.

• Biểu đồ tương quan giữa độ kiềm và độ vôi kiềm (Biểu đồ 3), độ oxit silic và độ kiềm của granitoit có biến thiên thuận. Điều này cũng phù hợp với các quan sát thạch học với các biến đổi hậu magma như albit hóa, microclin hóa, thạch anh hóa đã làm gia tăng oxit silic và độ kiềm.

• Biểu đồ AFM (Biểu đồ 4) cho thấy chiều hướng tiến hóa tương tự loạt đá kiềm vôi. Điều này cũng giải thích tính sáng màu. Granitoit khối Châu Viên thuộc loạt vôi-kiềm thiên về kiềm, nhưng chưa bảo hòa kiềm vì chưa thỏa điều kiện: $\text{Na}_2\text{O} + \text{K}_2\text{O} > \text{Al}_2\text{O}_3$ (Zavarisky).

• Biểu đồ chỉ sự quan hệ giữa độ bão hòa nhôm và oxit silic (Biểu đồ 5): Các mẫu granitoit đều rơi vào trường granit kiểu I. Chỉ số ASI dao động 1,01÷1,09.

• Biểu đồ ACF (Biểu đồ 6): Các mẫu granitoit rơi vào trường granit kiểu S. Điều này do lượng SiO₂ tăng lên dẫn đến lượng CaO giảm nên một số mẫu có khuynh hướng rơi vào trường S granit.

• Biểu đồ tương quan SiO₂-ASI (Biểu đồ 5) và Na₂O-K₂O và K₂O-Na₂O (Biểu đồ 7 và 8): các mẫu đều rơi vào trường I granit.

• Biểu đồ tương quan Na₂O – K₂O, phân loại I-granit và S-granit (Biểu đồ 7): các mẫu rơi vào trường I-granit. Biểu đồ tương quan K₂O – Na₂O, phân loại I, S, A-granit (Biểu đồ 8): các mẫu nằm trên ranh giới I-granit và A-granit; riêng Mẫu HC rơi vào trường A-granit.

• Trên biểu đồ: phân chia loạt ilmenit và magnetit (Biểu đồ 9 và 10), kết quả phân tích thạch học (magnetit đạt 316,40g/T) và khoáng vật định mức C.I.P.W (magnetit cao hơn ilmenit, Bảng 3), cho thấy, granitoit ở đây có thể được xếp vào granit loạt magnetit, tương đồng với I-granit.

• Hành vi các nguyên tố vết (Bảng 4) phân tích trên các biểu đồ: Rb-Hf-Ta (Biểu đồ 11), Rb và Y+Ta (Biểu đồ 12), Y-Nb (Biểu đồ 13), Y+Nb - Rb (Biểu đồ 14): các mẫu LH đều nằm ở ranh giới VAG, WPG, và ORG; các mẫu HC đều rơi vào trường VAG.

Địa hóa các nguyên tố tạo quặng (kích hoạt nôtron) có hàm lượng (ppm) cao so với Clark: Sn 46,3÷62,4; Mo 18,5÷21,5; Cu 93,1÷112ppm, Pb 36,6÷24,3; Zn 128÷145, Ni 100÷132; W 9,12÷12,3.

Bảng 1: Thứ tự thành tạo khoáng vật trong granitoit khối Châu Viên

KHOÁNG VẬT	CÁC GIAI ĐOẠN THÀNH TẠO			
	MAGMA	BIẾN ĐỘI SAU MAGMA		
		Kiềm sớm	Rửa lũa acit	Lắng đọng
Plagioclas	I	II (Anbit)		
Felspat kali	I	II (Microclin)		
Thach anh	I		II	
Amphibol	—			
Biotit	—			
Apatit	----			
Zircon	----			
Orthit	----			
Molipdenit				-----
Sulfur da kim				-----

4. NGUỒN GỐC VÀ ĐIỀU KIỆN THÀNH TẠO

Đến nay, có nhiều công trình bàn về nguồn gốc granitoit, nhưng tựu chung có thể qui về 3 kiểu sau: granitoit nguồn gốc vỏ, granitoit nguồn gốc hỗn hợp, granitoit nguồn gốc manti. Để luận giải nguồn gốc của granitoit Châu Viên, chúng tôi dựa trên các cơ sở sau:

- Trên biểu đồ của Chapell & White các mẫu đều rơi vào trường granit kiểu S (Biểu đồ 6) rơi vào ranh giới trường granit kiểu I (Biểu đồ 7) rơi vào trường granit kiểu A (kiềm) hoặc I-A (Biểu đồ 8), các biểu đồ của Pearce (Biểu đồ 12,13,14) các mẫu đều rơi vào các trường

VAG, WPG, ORG, VAG+Syn – COLG; hoặc theo Harris et all , 1986 (Biểu đồ 11), các mẫu rơi vào trường VAG.

- Qua các dấu hiệu về thạch học khoáng vật cũng như các chỉ số hóa học như:
 - + Lượng Na_2O 3, 99 % so với S-granit có $\text{Na}_2\text{O} < 3,2\%$ khi $\text{K}_2\text{O} \approx 5\%$
 - + Chỉ số bão hòa nhôm ASI $< 1, 1\%$.
 - + Chỉ số C (Corindon) tiêu chuẩn nhỏ, C $0,38 \div 0,75$ (S-granit có C > 1)
 - + Apatit dạng tinh thể lăng trụ, kim bao trong biotit, hornblend.
 - + Khoáng vật màu horblend và biotit.
- + Dấu hiệu thực địa: granit có nhiều felspat kali màu hồng, chứa đá tù nguồn gốc magma.

+ Thường đi cùng đá phun trào tương ứng, cụ thể là granitoit khối Châu Viên đi với phun trào hệ tầng Nha Trang.

+ Nếu xem xét granitoit khối Châu Viên trong bối cảnh kiến tạo của phức hệ Đèo Cả, chúng có thành phần thạch học và thạch hóa biến thiên rộng và tiến triển thuận: diorit \rightarrow granodiorit \rightarrow granit.

Các đặc điểm trên đây là của granit kiểu I, trừ đặc tính kiềm, á kiềm.

Một số mẫu rơi vào trường granit kiểu A, kiểu kiềm có thể luận giải bằng tiêu chuẩn thạch học – khoáng vật là cho đến nay, chưa có phát hiện nào về khoáng vật kiềm có trong vùng. Độ kiềm trong các đá có tăng lên là do các biến đổi sau magma, hiện tượng kiềm hóa đã làm thay đổi: giảm Ca nhưng tăng acit, tăng kiềm. Như vậy, granitoit khối Châu Viên cũng không thuộc granitoit nội mảng (WPG) vì không có thành phần khoáng vật kiềm; thêm vào đó, cơ chế thành tạo của WPG là cơ chế căng giãn. Điều này trái với cơ chế va ép, cung đào hút chìm của magma vôi kiềm. Hàm lượng Ta–Nb tương đối thấp so với các nguyên tố TR (Bảng 4) đây là yếu tố của thành phần đới hút chìm.

Quan sát biểu đồ nhện (Pearce, 1984), granit cung núi lửa, chỉ có sự tương đồng tại các điểm nguyên tố K_2O , Ba, Ta, Nb, Ce; các điểm còn lại có sự chênh lệch, trong đó Rb và Zr quá thấp. Đây là 2 nguyên tố lithofil không tương thích và nếu so với manti nguyên thủy thì vỏ lục địa giàu tương đối các nguyên tố Cs, Rb, Ba, Th, U, K, Nb, Pb, Sr, Zr, Hf, TR. Tuy nhiên, theo Gunter Faure (1991), mức độ làm giàu tăng lên, đạt cực đại trong bazan hoặc granit giàu Ca, sau đó giảm dần. Granitoit khối Châu Viên nghèo Ca (Biểu đồ 18) nên lượng Rb, Zr thấp, tỷ số K/Rb cao cho thấy Rb, do những biến đổi sau magma cũng như quá trình hỗn nhiễm Rb đã không tham gia thay thế K trong felspat kali, horblend và biotit. Tương tự, Zr cũng không thay thế Ti trong các pha khoáng vật phụ sphen và rutin.

Đánh giá chế độ áp suất, nhiệt độ thành tạo granitoit Châu Viên như sau (Bảng 5).

Từ kết quả trên, độ sâu thành tạo được tính dựa vào mối tương quan với áp suất thủy tĩnh theo biểu đồ của Mason B. và Moore C.B. (1982): cứ 1 Kbar đạt độ sâu trung bình $3 \div 3,5$ km. Vậy độ sâu thành tạo của granitoit Châu Viên đạt 14,33 km.

Khi so sánh với kết quả nghiên cứu của Vũ Văn Vấn, Nguyễn Việt Ý (1985) và Trần Phú Hưng (1998) cho thấy nhiệt độ, áp suất thủy tĩnh, độ sâu thành tạo của granitoit khối Châu Viên phù hợp với granitoit phức hệ Đèo Cả (P_s $3,3 \div 7,9$ kbar, PH_2O $0,4 \div 2,6$ kbar, $T^{\circ}\text{C}$ $850 \div 1050^{\circ}$).

Trên các biểu đồ Q–Ab–Or (Biểu đồ 16 và 17), thể hiện granitoit khối Châu Viên kết tinh tại áp suất $2 \div 3$ kbar, ứng với độ sâu thành tạo $5 \div 9$ km và nhiệt độ kết tinh từ $650^{\circ} \div 670^{\circ}\text{C}$. Theo Vũ Văn Vấn và Nguyễn Việt Ý (1985), ở nhiệt độ kết tinh $650^{\circ}\text{C} \div 670^{\circ}\text{C}$ cần độ sâu tối thiểu kết tinh là 5km.

Như vậy, kết quả trên cho thấy có sự khác biệt về nhiệt độ hình thành magma và kết tinh sau cùng của granitoit khối Châu Viên, chứng tỏ magma sau khi hình thành đã di chuyển ra khỏi vùng lò và kết tinh ở nhiệt độ thấp hơn. Sự di chuyển magma đi lên trên, gây tái nóng

chảy và hỗn nhiễm thành phần vỏ, điều này cũng giải thích lý do sự giàu lên hay giảm đi một số nguyên tố trong granitoit.

Bảng 2: Thành phần hóa học (% oxit) granitoit khối Châu Viên

Stt	Mẫu	Tên đá	Khối	SiO ₂	TiO ₂	Al ₂ O ₃	Fe ₂ O ₃	FeO	MnO	MgO	CaO	Na ₂ O	K ₂ O	P ₂ O ₅	H ₂ O-	MKN
1	1	Granit kiềm		69.21	0.41	14.41	1.98	1.67	0.12	1.15	2.19	3.48	4.23	0.30	0.86	
2	2	Granit vôi-kiềm		72.08	0.37	13.86	0.86	1.67	0.06	0.52	1.33	3.08	5.96	0.28	0.53	
3	Dc8	Granit bi - hb	Đèo Cả	68.30	0.52	14.04	1.36	2.17	0.08	1.45	2.49	3.30	4.70	0.09	-	
4	Dc10	Granit bi có hb	Đèo Cả	73.28	0.23	13.57	0.56	2.03	0.06	0.38	1.07	3.20	4.90	0.04	-	
5	LH2	Granit bi	Châu Viên	73.94	0.17	12.73	0.78	2.21	0.05	0.18	0.63	4.06	4.18	0.03	0.23	0.08
6	LH6	Granit bi có hb	Châu Viên	73.20	0.19	12.68	1.02	2.80	0.05	0.27	0.63	4.06	4.20	0.03	0.19	0.20
7	LH9	Granit bi có hb	Châu Viên	72.68	0.17	12.85	1.08	2.80	0.05	0.45	0.63	4.06	4.28	0.03	0.17	0.31
8	LH12	Granit bi	Hòn Thùng	72.94	0.21	12.83	0.83	2.69	0.04	0.36	0.63	4.00	4.20	0.04	0.20	0.44
9	LH12/4	Granit aplit	Hòn Thùng	75.64	0.15	12.06	0.76	1.66	0.02	0.27	0.38	4.00	4.30	0.01	0.11	0.06
10	LH16	Granit bi	Hòn Thùng	72.96	0.21	12.83	1.06	2.42	0.04	0.45	0.88	4.00	4.35	0.03	0.10	0.43
11	HC18186	Granit bi	Châu Viên	74.10	0.24	13.18	0.84	1.97	0.05	0.37	0.78	4.00	4.15	0.03	0.18	0.01
12	HC15132	Granit bi	Châu Viên	74.42	0.19	12.74	0.98	1.88	0.06	0.23	0.73	3.79	4.33	0.01	0.20	0.35

- Mẫu 1 (theo Deli, 1936) và mẫu 2 (theo Nockolds, 1954) trích từ [5].

- Mẫu 3 & 4: Mẫu Trần Phú Hưng, Luận văn Thạc sĩ, 1998.

- Mẫu 5÷10: Mẫu đẽ tài Long Hải, kết quả phân tích: Trung tâm phân tích LĐBĐĐC miền Nam (2001).

- Mẫu 11,12 theo Kết quả Đo vẽ địa chất và tìm kiếm khoáng sản nhóm tờ Hàm Tân - Côn Đảo [8].

- bi – biotit, hb – horblend

Bảng 3. Thành phần khoáng vật theo phương pháp C.I.P.W granitoit khối Châu Viên

Số hiệu mẫu	LH2	LH6	LH9	LH12	LH16	LH12/4	HC18186	HC15132
Tên đá	Granit biotit	Granit biotit	Granit biotit	Granit biotit	Granit biotit	Granit aplit	Granit biotit	Granit biotit
Stt	(1)	(2)	(3)	(4)	(5)	(6)	(8)	(9)
Q	31.44	30.13	29.03	30.08	29.14	33.92	31.63	32.76
C	0.40	0.38	0.47	0.60	0.01	0.16	0.75	0.46
Z	0.01	-	-	0.01	-	-	-	-
Or	24.89	24.94	25.40	24.97	25.77	25.56	24.58	25.67
Ab	34.61	34.52	34.51	34.05	33.93	34.04	33.88	32.10
An	3.07	2.94	2.94	3.01	4.18	1.83	3.70	3.72
Sm	0.09	-	-	0.07	-	-	-	-
Hy	3.72	4.77	5.20	4.94	4.43	2.90	3.54	3.02
En	0.45	0.68	1.13	0.90	1.12	0.68	0.92	0.57
Fs	3.27	4.10	4.08	4.03	3.30	2.22	2.62	2.44

Mt	1.14	1.49	1.57	1.21	1.54	1.11	1.22	1.42
ll	0.33	0.36	0.32	0.40	0.40	0.29	0.46	0.36
Ap	0.07	0.07	0.07	0.10	0.07	0.02	0.07	0.02
Diff index	90.94	89.59	88.94	89.10	88.84	93.52	90.09	90.53
Colour	5.19	6.62	7.10	6.55	6.37	4.29	5.22	4.80
Pl	37.68	37.46	37.45	37.06	38.11	35.87	37.58	35.82
Norm	8.16	7.86	7.86	8.12	10.97	5.10	9.84	10.38
100An/(An+	8.16	7.86	7.86	8.12	10.97	5.10	9.84	10.38
Ab^	34.61	34.52	34.51	34.05	33.93	34.04	33.88	32.10
Q"	32.32	31.27	30.29	31.27	30.23	34.63	32.50	33.49
Ol^	2.84	3.64	3.94	3.75	3.34	2.19	2.67	2.29
Ne ^	18.76	18.71	18.70	18.45	18.39	18.45	18.36	17.40
Q^	48.17	47.08	46.10	46.87	45.77	50.22	48.02	48.19
Mg	12.67	14.66	22.26	19.26	24.89	22.47	25.08	17.90

Bảng 4. Hàm lượng các nguyên tố vết (ppm) granitoit khối Châu Viên

Số hiệu mẫu	LH2	LH12	HC18186	HC15132
Tên đá	Granit biotit	Granit biotit	Granit biotit	Granit biotit
Stt	(1)	(4)	(8)	(9)
Ba	379	425		576
Li	33	27.4		
Rb	15.4	12.2	70.9	159
Sr	54.7	42.1	51.2	7
Cs	3.55	2.98		
V	2.45	3.21		
Cr	5.12	5.97		
Co	13.40	14.5		
Ni	100	132		
Cu	112	93.1		
Pb	36.6	24.3		
Zn	123	145		
Sn	46.3	62.4		
W	9.12	12.3		
Mo	18.5	21.5		
Ta	2.11	1.78		1.53
Nb	21.5	27.1	7.86	
Zr	41.5	45.2		
Hf	24.1	32.8		5.75
Y	38.2	51.5	24.6	16.6
Yb	4.78	6.44	2.31	4.53
La	13.4	14.8		
Ce	77.2	80.2	69.7	65
Sm	21.4	18.5		
Th	11.2	9.78		
U	2.87	3.12		

Bảng 5. Áp suất, nhiệt độ của granitoit khối Châu Viên

Mẫu	Tên đá	Ps (Kbar)	PH ₂ O(Kbar)	T ⁰ C	Độ sâu (Km)
LH2	Granit biotit	4,55	1,98	930	15,9
LH6	Granit biotit	4,30	1,98	975	15,05
LH9	Granit biotit	4,72	1,98	998	16,8
LH12	Granit biotit	4,80	1,88	999	16,8
LH16	Granit biotit	4,60	1,88	967	16,1
LH12/4	Granit aplit	2,68	1,88	886	9,38

5. KẾT LUẬN

Granitoit khối Châu Viên phân bố dọc ven biển theo phuong ĐB-TN, gồm pha xâm nhập chính: granit biotit, granit biotit có hornblend; pha xâm nhập phụ: granit hạt nhỏ và pha đá mạch: granit aplit, pegmatoid. Các đá bị biến đổi sau magma mạnh mẽ nhưng không đều, gồm: albit hoá, microclin hoá, thạch anh hóa; trong đó, albit hoá phát triển mạnh và đều khắp hơn microclin hoá.

Khối granitoit này là granit vôi-kiềm thuộc kiểu I-granit (theo Chapell & White, 1974) hay granit loạt magnetit (Tsusue & Ishihara, 1972) hoặc kiểu VAG được kết tinh từ nguồn magma có độ sâu trung bình, bị hỗn nhiễm vỏ (nguồn gốc hỗn hợp), chủ yếu do nóng chảy các vật liệu sâu dưới vỏ lục địa ở rìa lục địa tích cực kiểu Andes. Magma được thành tạo trong khoảng 962⁰C ở độ sâu 14,33km với áp suất Ps 4,48Kbar; nhiệt độ kết tinh 660–670⁰C ở độ sâu 10,5km với áp suất 2,5÷3kbar.

**PETROGRAPHICAL, PETROCHEMICAL CHARACTERISTICS
AND CONDITION OF FORMATION OF GRANITOIDS IN CHAU VIEN
MOUNTAINS, LONG HAI AREA, BA RIA – VUNG TAU PROVINCE**

Tran Phu Hung, Pham Quang Vinh, Nguyen Kim Hoang

University of Natural Sciences, VNU-HCM

ABSTRACT: On the basic of the investigation into materials composition, formation conditions, shows that:

1- Petrographical components consist of: The first phase: biotite granite, hornblende bearing biotite granite, The second phase: small-crystallised granite, and The vein phase are inclusive of aplitic granite and pegmatoid.

2- Most of the rocks are subjected to intensive post-magmatic alteration, mainly albitization and microlinization processes. Main mineral components are plagioclase, potassium feldspar, quartz, biotite and little hornblende.

3- The granitoid of Chau Vien mountain belong to calc – alkalin granite, type of I-granite or VAG. Magma were formed at 14,3km in depth at 962⁰C with pressure of Ps 4,48 kbar and crystallised at 10,5 km in depth at 660–667⁰C with pressure of Ps 2,5 – 3 kbar.

TÀI LIỆU THAM KHẢO

- [1]. B.W. Chappell & A.J.R White, *Two contracting granite types: 25 years later.* Australian journal of Earth Sciences – 2001, 48p p 489 – 499, (2001).
- [2]. Kent C. Condie, *Magma associations and mantle sources (chapter 7).* Plate tectonics & crustal evolution.P 208 -281. Pergamon press. New Mexico, (1990).
- [3]. Đặng Trung Thuận, *Địa hóa học.* Nhà xuất bản Đại Học Quốc Gia Hà Nội, (2005).
- [4]. Huỳnh Trung, Nguyễn Xuân Bao, *Các thành tạo macma xâm nhập đới Đà Lạt.* Địa Chất và nguyên liệu khoáng. Số 1 – 1991. Tr 15 – 40. TP HCM, (1991).
- [5]. Huỳnh Trung & nnk, *Thạch học thạch địa hóa đá magma và biến chất.* NXB Đại Học Quốc Gia TP HCM, (2007).
- [6]. Huỳnh Trung & nnk, *Thạch luận và sinh khoáng đai cương.* NXB Đại Học Quốc Gia TP HCM, (2006).
- [7]. Nguyễn Việt Ý và Vũ văn Vân, *Về điều kiện thành tạo của các đá thuộc phirc hệ granitoit Đèo Cả (Nam Trung Bộ).* Vân đề thach luận và khoáng sản. Viện khoa học về trái đất. Tr. 5 – 9. Hà Nội, (1984).
- [8]. Nguyễn Văn Cường (chủ biên) và nnk. *Báo cáo Kết quả đo vẽ địa chất và tìm kiếm khoáng sản nhóm tờ Hàm Tân – Côn Đảo,* tỷ lệ 1/ 50.000 – Phần Địa tầng và macma xâm nhập. Tp HCM, (2000).
- [9]. Ma Công Cọ (chủ biên) và nnk, *Báo cáo Kết quả đo vẽ địa chất và tìm kiếm khoáng sản nhóm tờ Đông TP Hồ Chí Minh,* tỷ lệ 1/ 50.000 – Phần Địa tầng và macma xâm nhập. Tp HCM, (1994).



Hình 1: Plagioclas I cấu tạo đa hợp tinh (bị sericit hóa) bị felspat kali gãm mòn ven rìa.

(Lm LH2, Granit biotit, 2⁺x10)

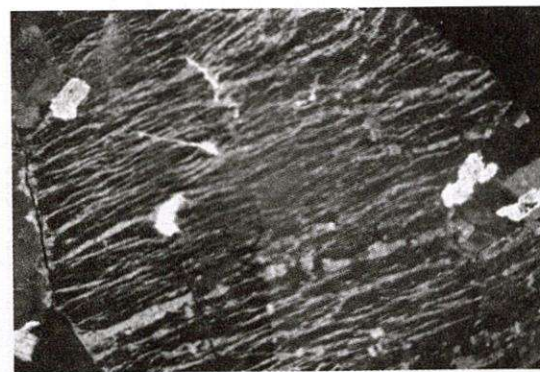


Hình 2: Plagioclas I phân đới bị sausurit ở nhân, orthoclás có cấu tạo perthit.

(Lm LH6, granit biotit 2⁺, x10)

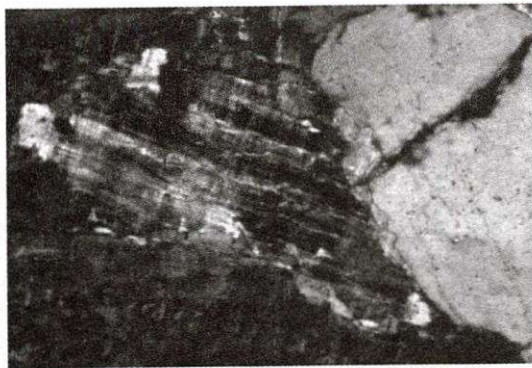


Hình 3: Giữa hai khoáng orthoclás I phát triển các plagioclas II (albit), khoáng orthoclás (phía dưới) albit mọc xen. (Lm LHI, granit biotit, 2⁺, x5)



Hình 4: Cấu tạo perthit tăng trưởng phát triển mạnh trên felspat kali trong granit biotit.

(Lm LH6, granit biotit, 2⁺, x10)



Hình 5: Felspat kali II (microclin) và thạch anh I (màu xám trắng) bị nứt nẻ là thạch anh II (đốm trắng nhỏ). (Lm LH2 granit biotit, 2⁺, x10)



Hình 6: Plagioclas phân đới bị felspat kali hóa tạo microclin mọc xen với albit (perthit) (Lm LH7, granit biotit, 2⁺, x10)



Hình 7: Biotit phát triển và gãm mòn plagioclas. Plagioclas tàn dư trong biotit. Zircon trong biotit.

(Lm LH12, granit biotit, 2⁺, x10)



Hình 8: Biotit (màu nâu vàng) bao khoáng vật amphibol (có hai hướng cát khai rõ).

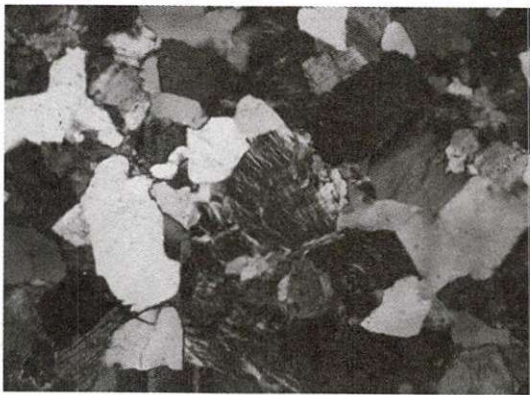
(Lm LH3, granit biotit có hornblend, 1⁺, x10)



Hình 9: Orthit tự hình trong granit biotit. (Lm LH2
granit biotit, 2⁺, x 20)



Hình 10: Zircon, apatit dạng bao thể trong orthoclas. (Lm LH6, granit biotit, 2⁺, x10)

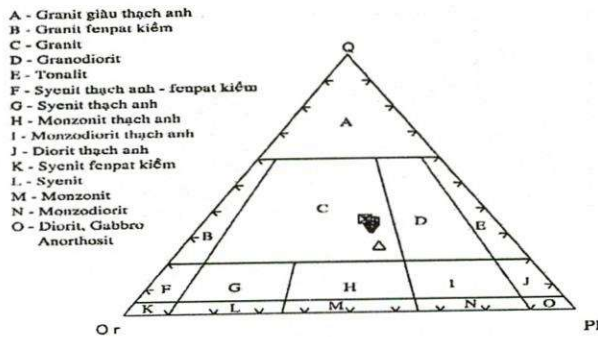


Hình 11: Microclin mọc xen albít, tạo cấu tạo microclin □ perthit. Ven rìa biotit không đều, phát triển vào rìa felspat kali. Khoáng vật quặng phân bố dọc cát khai biotit. Thạch anh I tắt làn sóng. (Lm LH 7/1, granit hạt nhỏ, 2⁺, x 5)

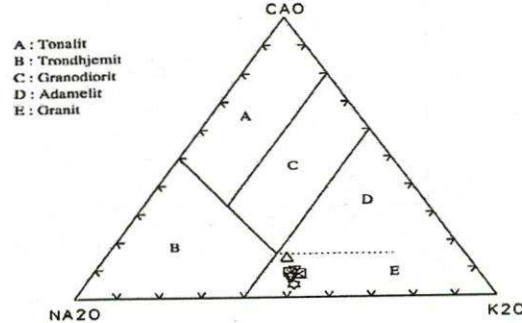


Hình 12: Plagioclas phân đới bị sausorit hóa ở nhân, thạch anh (màu trắng) gãm mòn và bao các khoáng plagioclas.

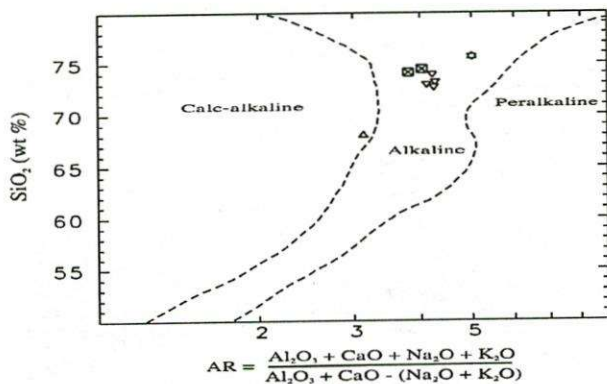
(Lm LH 13, đá tù diorit thạch anh, 2⁺, x 5)



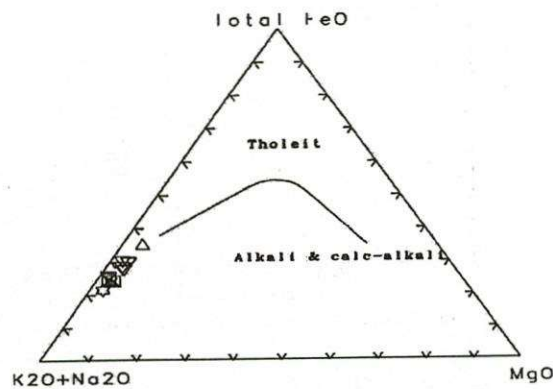
Biểu đồ 1 - Biểu đồ tương quan Or-Q-Pl (Streckeisen, 1979)
 Q = thạch anh, Or = orthoclase, Pl = plagioclase



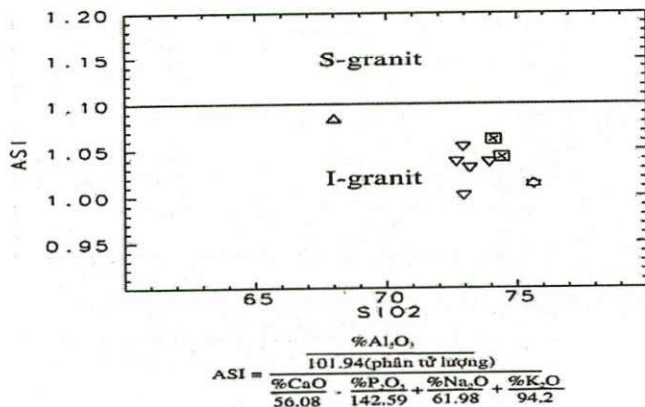
Biểu đồ 2 - Biểu đồ tương quan Na₂O -CaO-K₂O
 (theo A.J.R. White, 1988)



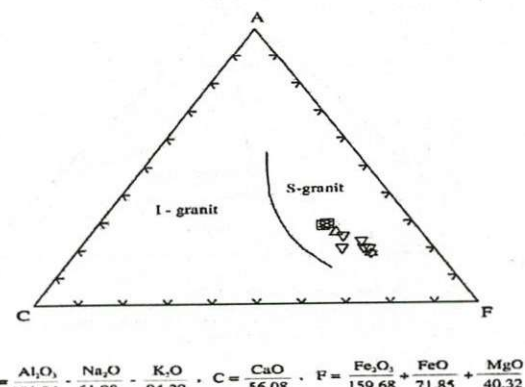
Biểu đồ 3 - Biểu đồ tương quan SiO₂ và AR
 (theo Wright, 1969)



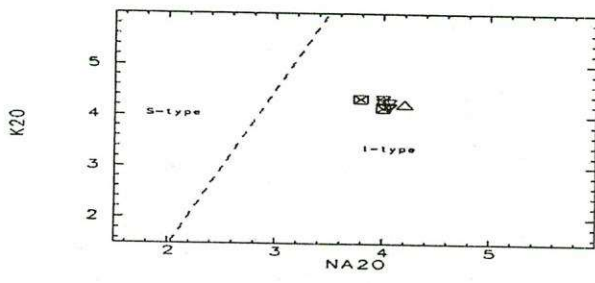
Biểu đồ 4 - Biểu đồ AFM (% trọng lượng)
 (theo Wilson, 1989)



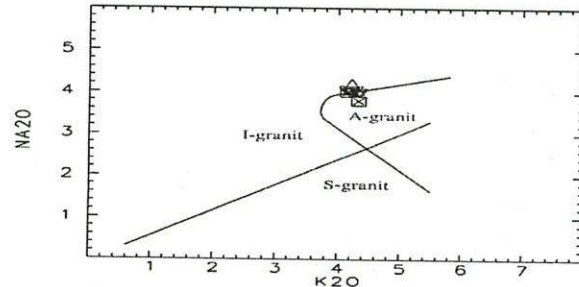
Biểu đồ 5 - Biểu đồ tương quan SiO₂ - ASI
 (theo White A.J.R & Chappell B.W, 1983)



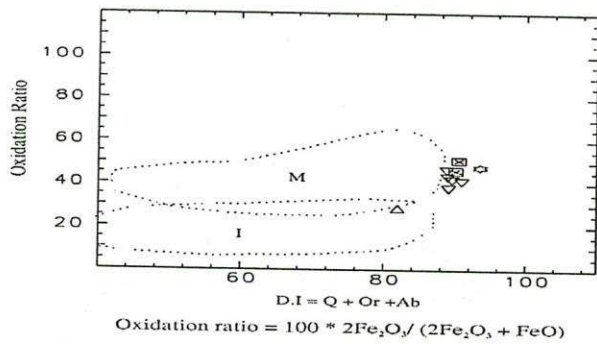
Biểu đồ 6 - Biểu đồ ACF
 (theo White A.J.R & Chappell B.W, 1974)



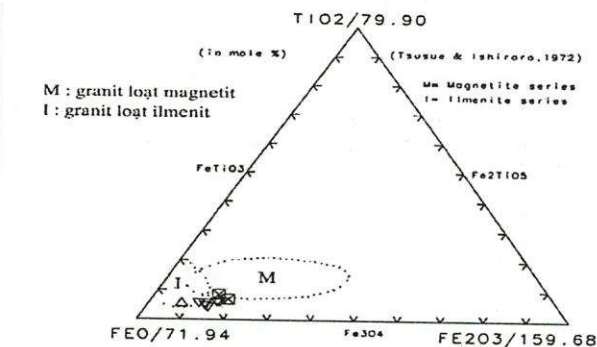
Biểu đồ 7 - Biểu đồ tương quan Na₂O - K₂O
(theo White A.J.R & Chappell B.W, 1983)



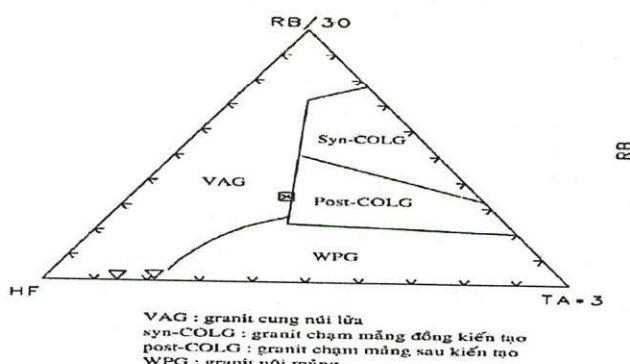
Biểu đồ 8 - Biểu đồ tương quan K₂O - Na₂O
phân loại I-granit, S-granit và A-granit
(theo White A.J.R & Chappell B.W, 1983)



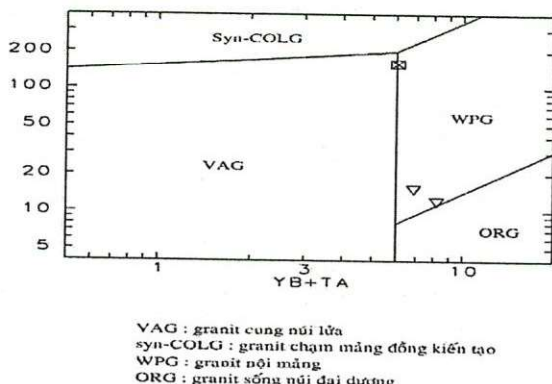
Biểu đồ 9 - Biểu đồ tương quan D.I và O.R
phân loại granit loạt magnetit và granit loạt ilmenit
(theo Tsusue & Ishihara, 1974)



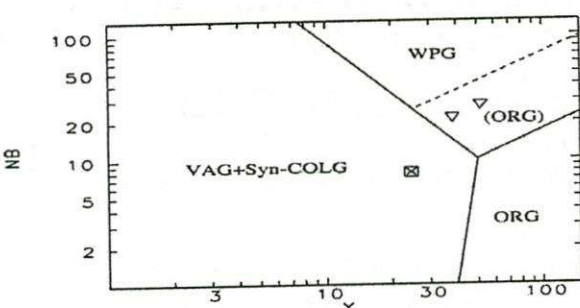
Biểu đồ 10 - Biểu đồ tương quan FeO-TiO₂-Fe₂O₃
phân loại granit loạt magnetit và granit loạt ilmenit
(theo Tsusue & Ishihara, 1974)



Biểu đồ 11 - Biểu đồ tương quan Hf-Rb-Ta
(theo Harris et al, 1986)

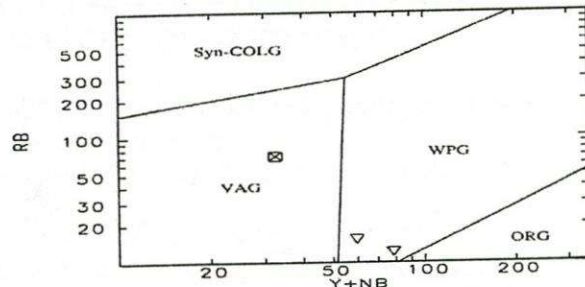


Biểu đồ 12 - Biểu đồ tương quan Yb+Ta - Rb
(theo Pearce J.A et al, 1984)



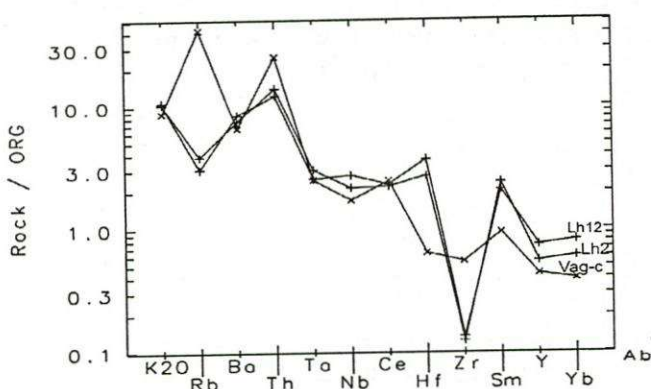
VAG+Syn-COLG : granit cung núi lửa-chạm mảng đồng kiến tạo
WPG : granit nội mảng
ORG : granit sống núi đại dương

Biểu đồ 13 - Biểu đồ tương quan Y - Nb
(theo Pearce J.A et al, 1987)

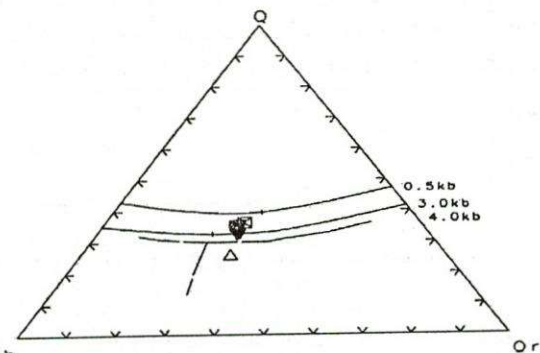


VAG : granit cung núi lửa
syn-COLG : granit chạm mảng đồng kiến tạo
WPG : granit nội mảng
ORG : granit sống núi đại dương

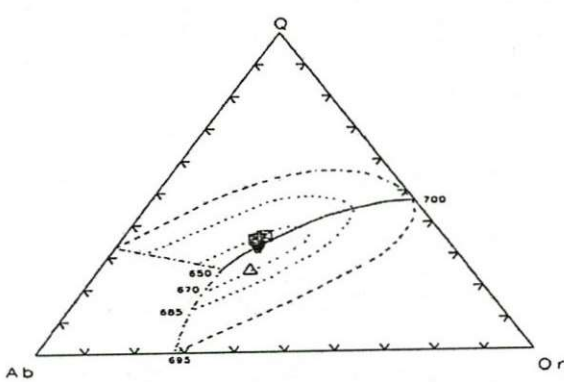
Biểu đồ 14 - Biểu đồ tương quan Y+Nb - Rb
(theo Pearce J.A et al, 1984)



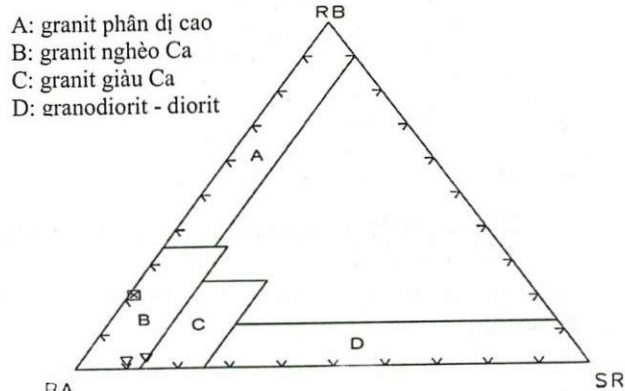
Biểu đồ 15 - Biểu đồ nhện Rock/ORG
(theo Pearce J.A et al, 1984)



Biểu đồ 16 - Biểu đồ tương quan Q - Ab - Or
(Tuttle & Bowen, 1958)



Biểu đồ 17 - Biểu đồ tương quan Q - Ab - Or
(theo Tuttle & Bowen, 1958)



Biểu đồ 18 - Biểu đồ tương quan Ba - Rb - Sr
(theo El Bouseilly & El Sokkary, 1975)